

Контроль состояния металла гибов трубопроводов Ижевской ТЭЦ-2, работающих в условиях высоких температур

Страхов В.А.¹, Голиков В.М., Пермикин В.С., Добрушкин Л.С., Бархатова Т.И., инженеры

Ижевская ТЭЦ-2 — АО «Уралтехэнерго»

Обобщен опыт диагностики микроповрежденности структуры металла гибов высокотемпературных паропроводов Ижевской ТЭЦ-2. Доказано, что обследование, включающее измерение деформации ползучести, скорости ультразвуковых волн и оценку плотности микропор всех гибов паропровода, повышает достоверность прогноза его остаточного ресурса.

Обеспечение надежной и безопасной эксплуатации гибов высокотемпературных паропроводов котлов и турбин, отработавших свой парковый ресурс, является одной из важнейших задач для тепловых электростанций. Связано это с тем, что разрывы гибов паропроводов приводят к крупным разрушениям, а замена паропровода — операция достаточно дорогостоящая.

Периодический контроль металла гибов паропроводов² по ряду причин не обеспечивает в полной мере их надежную эксплуатацию. Применяемые в настоящее время неразрушающие методы дефектоскопии гибов (ультразвуковая, магнитопорошковая и цветная) позволяют обнаруживать только макродефекты плотности металла. Промежуток времени, в течение которого происходит развитие дефектов (трещин), возникающих в процессе эксплуатации, от зарождения до разрушения гиба значительно меньше планового межремонтного периода, который в лучшем случае может составлять 7...8 тыс.ч. Это значит, что весь процесс от зарождения трещины до разрушения может совершаться в межремонтный период. Этим и объясняется малая эффективность контроля, основанного на традиционных неразрушающих методах.

Образование трещины как эксплуатационного дефекта в гибах паропроводов, работающих при высоких температурах и давлении, — это только завершение процесса ползучести, который происходит в металле. Классическое представление процесса ползучести — зависимость остаточной деформации от времени — приведено на рис. 1.

На третьей стадии ползучести (рис. 1 и 2) в металле образуются микропоры размером 1...5 мкм, достаточно надежно выявляемые после многократных полировок и травлений. Они видны в оптический микроскоп при

¹ 426039, г. Ижевск, Воткинское ш., 13 км. Ижевская ТЭЦ-2.

² РД 34.17.421-92. Типовая инструкция по контролю и проложению срока службы металла основных элементов котлов, турбин и трубопроводов тепловых электростанций. М., 1982.

увеличениях в 500 раз и более как на самом шлифе, так и на оттисках (репликах) с него. Однако ввиду трудоемкости приготовления шлифов непосредственно на оборудовании последний метод применяется только для выборочного контроля гибов.

Остаточная деформация (крипп) паропроводов, изготовленных из сталей 15ХМ, 12Х1МФ и 15Х1МФ, может достигать нескольких процентов, т.е. является вполне информативным параметром, по которому можно оценить остаточный ресурс паропровода. Но его ис-



Рис. 1. Кривая ползучести

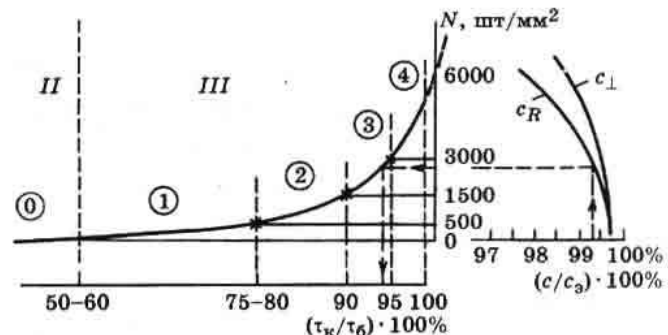


Рис. 2. Зависимость скорости ультразвуковых волн от плотности пор на третьей стадии ползучести.

N — плотность пор ползучести на поверхности шлифа; c_R — скорость поверхностных волн; c_1 — скорость сводовых волн; c_0 — скорость соответствующей волны в эталоне; τ_4 — продолжительность работы на момент контроля; τ_0 — длительность безопасной эксплуатации; цифры 0...4, обведенные кружками, — балл микроповрежденности металла порами ползучести

пользование ограничивается рядом факторов. Наиболее интенсивно процесс ползучести происходит на гнуемых участках паропроводов — гибах, а реперы для измерения деформации ползучести гибов устанавливаются на прямых участках. Поэтому деформацию ползучести растянутой зоны гиба по данным, полученным с его прямого участка, можно оценить лишь косвенно.

Метод оценки деформации ползучести по измерению овальности гиба в одном-трех сечениях отмечается высокой случайной погрешностью ввиду плохой воспроизводимости положения сечения, в котором производится измерение.

Определение состояния металла по вырезке из прямого участка так же, как и крипп даёт лишь косвенное представление о состоянии гиба.

Между тем каждый гиб следует рассматривать как объект, обладающий индивидуальным комплексом характеристик, определяющих при данных параметрах эксплуатации (температуре и внутреннем давлении) его долговечность. После изготовления каждый гиб имеет свою структуру, форму поперечного сечения, утонение в растянутой зоне. Из-за различного положения в трассе паропровода гибы испытывают разные воздействия напряжений, возникающих вследствие весовых нагрузок и теплового расширения металла.

Исходя из представления, что каждый гиб обладает индивидуальными особенностями, а основными информативными параметрами, с помощью которых можно оценить степень ползучести, являются деформация ползучести и плотность микропор в структуре металла, для оценки состояния металла гибов паропроводов предлагается следующее:

обследование всех гибов паропровода для определения остаточного ресурса каждого из них;

поиск на каждом гибе (на выпуклой его части) наиболее поврежденного участка.

Оценка состояния металла гибов включает в себя следующие методы:

измерение формы сечения гиба для поиска экстремальных значений овальности или локальной кривизны;

акустический, разработанный Б.В. Бархатовым и основанный на зависимости скорости ультразвуковых волн от плотности пор ползучести;

металлографический метод определения поврежденности металла с помощью портативных микроскопов ($\times 500 \dots 1000$), позволяющих избежать ошибок при подготовлении шлифов.

Такой комплексный подход к определению состояния металла и его остаточного ресурса позволяет повысить достоверность оценки, поскольку решение принимается не по одному параметру, как в классическом методе оттисков, а по четырем: деформации ползучести, плотности пор, скорости волн Реллея и скорости сдвиговых волн (см. рис. 2).

Одной из первых электростанций, на которой внедрен данный подход, является Ижевская ТЭЦ-2 (ИТЭЦ). Начиная с 1992 г., на этой ТЭЦ были обследо-

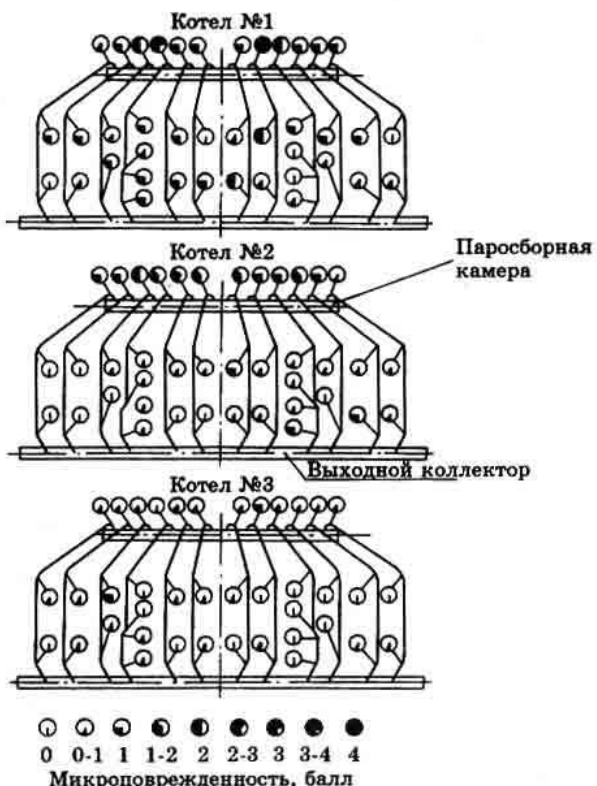


Рис. 3. Микроповрежденность гибов пароперпусенных труб последней ступени котлов ТП-87 ИТЭЦ-2

ваны гибы главных паропроводов и пароперпусенных труб последней ступени трех котлов ТП-87, ряд турбинных, секционных и растопочных паропроводов. Всего обследовано более 200 гибов и некоторые из них даже повторно, что позволяет оценить скорость накопления поврежденности в них, а значит составить более достоверный прогноз. На схемах пароперпусенных труб ($D = 133 \times 17$ мм) последней ступени котлов (рис. 3) представлено состояние каждого гиба, оцененное в баллах микроповрежденности согласно табл. 1. В табл. 2 приведены результаты этой оценки и параметры эксплуатации котлов.

Из рис. 3 видно, что не все гибы имеют одинаковую степень поврежденности — наиболее поврежденные расположены в основном при входе в паросборную камеру. Большая часть гибов имеет поврежденность не выше 1 балла и может быть оставлена в эксплуатации до проведения следующего контроля на 30...70 тыс. ч.

После такого полного обследования были составлены графики следующего контроля, уже выборочного: гибы с баллом 0 — через 70 тыс.ч, баллом 1 — через 30, а с баллом 2 — через 15 тыс.ч (табл. 2). Гибы, оцененные баллами 3 и 4, были заменены сразу после выполнения контроля.

Аналогичное неравномерное распределение гибов по их состоянию было обнаружено при обследовании и других паропроводов ИТЭЦ-2. Так, один из гибов главного паропровода котла ст. № 1 имел микроповрежденность, оцененную баллом 4. В связи с тем, что по-

Таблица 1. Шкала поврежденности микроструктуры паропроводов из стали 12Х1МФ

Микроповрежденность, балл ¹	Металлографическая характеристика распределения микропор ползучести при увеличении в 500 раз и более	Плотность микропор, шт./мм ² поверхности шлифа ²
0	Поры отсутствуют	0
1	Единичные округлые поры	До 500
2	Отдельные поры и цепочки пор	500...1500
3	Цепочки пор, часть пор в цепочках слилась между собой	1500...3000
4	Большинство пор в цепочках неразличимы — микротрешины	Более 3000

¹ Номера баллов соответствуют классификации, предложенной ВТИ (Москва).

² Плотность микропор приведена для трубопроводов $D = 133 \times 16$ (17), $D = 219 \times 24$ (25), $D = 273 \times 32$, работающих при $t = 550 \dots 560^\circ\text{C}$, $p = 13 \dots 14 \text{ МПа}$, металл которых имеет феррито-карбидную структуру.

Таблица 2. Распределение гибов пароперепускных труб последний ступени котлов ТП-87 ИТЭЦ-2 по баллам микроповрежденности

Количественные характеристики	Балл микроповрежденности					Станционный номер котла, параметр эксплуатации
	0	1	2	3	4	
Количество гибов	5	29	4	1	1	№ 1
Доля гибов, %	12,5	72,5	10	2,5	2,5	$t = 555^\circ\text{C}$
Промежуток времени до следующего контроля, тыс. ч	70	30	15	8	0	$p = 13,8 \text{ МПа}$; Число пусков — 171; $\tau_k = 126\ 755 \text{ ч}$
Количество гибов	8	26	6	0	0	№ 2
Доля гибов, %	20	65	15	—	—	$t = 556^\circ\text{C}$
Промежуток времени до следующего контроля, тыс. ч	70	30	15	—	—	$p = 13,7 \text{ МПа}$; Число пусков — 118; $\tau_k = 129\ 702 \text{ ч}$
Количество гибов	15	25	0	0	0	№ 3
Доля гибов, %	37,5	62,5	—	—	—	$t = 556^\circ\text{C}$
Промежуток времени до следующего контроля, тыс. ч	70	30	—	—	—	$p = 13,8 \text{ МПа}$; Число пусков — 105; $\tau_k = 117\ 189 \text{ ч}$

сле более детального контроля ни на лобовой части, ни на внутренней поверхности нейтральной зоны гиба трещин обнаружено не было, гиб был оставлен в эксплуатации на 4 тыс. ч. Спустя 3 тыс. ч после первого обследования на том же участке был приготовлен шлиф и обнаружено растрескивание размером 3...4 мм. Плотность микропор ползучести и значение скоростей ультразвука не изменились. Это говорит о том, что на данном этапе ползучести образования пор уже не происходит, а деформация ползучести увеличивается из-за образования и роста макродефектов — трещин.

Общая поврежденность гибов главного паропровода и пароперепускных труб котла ст. № 1 больше поврежденности гибов котла ст. № 2. Параметры эксплуатации и продолжительность работы на момент контроля примерно одинаковы, но на первом котле было произведено значительно больше пусков. Таким образом, большая поврежденность вполне объяснена тем фак-

том, что малоцикловая усталость, возникающая из-за термических напряжений при пусках и остановах оборудования, ускоряет процессы ползучести металла, поэтому число пусков, особенно из холодного состояния, необходимо учитывать при назначении срока первичного обследования элементов, работающих в условиях ползучести.

Внедрение на ИТЭЦ-2 комплексной системы обследования металла гибов высокотемпературных паропроводов позволило:

получить детальную информацию о состоянии металла каждого гиба обследованных паропроводов;

составить достаточно достоверный прогноз их остаточного ресурса;

при необходимости произвести выборочную замену элементов вместо полной замены паропроводов;

повысить надежность эксплуатации энергооборудования.